

## ВЫСОКОЧАСТОТНАЯ АСИМПТОТИКА СОБСТВЕННЫХ ВОЛН СОСКАЛЬЗЫВАНИЯ И ШЕПЧУЩЕЙ ГАЛЕРЕИ ПОВЕРХНОСТЕЙ С АНИЗОТРОПНЫМ ПОВЕРХНОСТНЫМ ИМПЕДАНСОМ

**А.А. Звягинцев, А.И. Иванов, Д.В. Катков**

*Харьковский национальный университет имени В. Н. Каразина,  
пл. Свободы, 4, г. Харьков, 61077*

*e-mail: [alexei.iivanov@univer.kharkov.ua](mailto:alexei.iivanov@univer.kharkov.ua)*

*В работе получено решение задачи по отысканию высокочастотной асимптотики собственных мод волн шепчущей галереи и волн соскальзывания криволинейной поверхности с анизотропным поверхностным импедансом. Окружающая поверхность среды считается неоднородной, с малым изменением параметров на длине волны. Решение задачи производится сведением уравнений Максвелла к уравнению второго порядка с последующим применением метода эталонной задачи.*

### ВВЕДЕНИЕ

При решении задач электродинамики с помощью лучевых асимптотических методов зачастую возникает необходимость вычисления полей вблизи гладких криволинейных тел. Лучевое поле, касающееся тела, на выпуклых участках поверхности возбуждает волны соскальзывания, а на вогнутых – волны шепчущей галереи. Поскольку поверхность тела является для этих волн каустикой, традиционные лучевые методы неприменимы для отыскания электромагнитного поля вблизи нее. В работе [1] получены двумерные скалярные равномерные асимптотические разложения для собственных мод волн соскальзывания и шепчущей галереи, а также показано, что поле вблизи поверхности может быть представлено в виде ряда по собственным модам соответствующего типа. Эти результаты в работе [2] обобщены на случай трехмерной векторной задачи для поверхности, расположенной в однородной среде. В данной работе рассматривается задача отыскания собственных волн соскальзывания и шепчущей галереи поверхности с анизотропным поверхностным импедансом, расположенной в слабонеоднородной среде.

### ПОСТАНОВКА ЗАДАЧИ

Рассмотрим следующую задачу: гладкая поверхность без кромок расположена в слабонеоднородной среде. Эффективный радиус кривизны поверхности считается положительным для всей рассматриваемой области поверхности в случае отыскания собственных волн шепчущей галереи и отрицательным в случае отыскания волн соскальзывания. Он имеет вид

$$P = \left( \rho_t^{-1} + \frac{1}{2} \left( \varepsilon \frac{\partial \varepsilon}{\partial n} \mu^2 + \mu \frac{\partial \mu}{\partial n} \varepsilon^2 \right)_{n=0} \right)^{-1},$$

где  $n$  - расстояние от поверхности до точки наблюдения, а  $\rho_t$  - наибольший из главных радиусов кривизны поверхности. Будем искать решения однородных уравнений Максвелла в комплексной форме, сосредоточенные вблизи поверхности и удовлетворяющие принципу предельного поглощения. Будем также считать, что волновое число

$k \rightarrow \infty$ , а величины  $\varepsilon$  и  $\mu$  являются медленно меняющимися на длине волны функциями. Будем считать, что

$$\bar{\delta}_\mu = \nabla \mu(\bar{r}) / \mu(\bar{r}) = o(k^{-1+\sigma}), \quad \bar{\delta}_\varepsilon = \nabla \varepsilon(\bar{r}) / \varepsilon(\bar{r}) = o(k^{-1+\sigma}),$$

где  $\sigma$  - стремящаяся к нулю положительная величина. Импедансные условия на поверхности имеют вид

$$\bar{H}_\tau = W \cdot \bar{n} \times \bar{E}_\tau, \quad (1)$$

где  $W$  - тензор поверхностного импеданса,  $\bar{H}_\tau, \bar{E}_\tau$  - касательные к поверхности компоненты векторов  $\bar{H}, \bar{E}$ , а  $\bar{n}$  - нормаль к поверхности.

Введем систему координат  $(n, s, t)$ , где  $n$  - длина нормали к поверхности, проведенной из точки наблюдения,  $s=const$  и  $t=const$  - координатные кривые на поверхности, причем кривые  $t=const$  являются геодезическими, а  $s=const$  - перпендикулярными им линиями. Кроме того, координаты  $s, t$  будем считать натуральными параметрами координатных кривых.

Энергия рассматриваемых волн в основном сосредоточена в полосе порядка  $O(k^{-2/3})$  вблизи поверхности. Учитывая этот факт, пренебрежем членами, учитывающими влияние кручения координатных кривых на метрический тензор системы. В данном приближении полученная система координат ортогональна и имеет коэффициенты Ламе:

$$h_n = 1; \quad h_s = 1 + n / \rho_s; \quad h_t = 1 + n / \rho_t,$$

где  $\rho_s, \rho_t$  - главные радиусы кривизны поверхности, причем  $\rho_t$  - наибольший из них.

### РЕШЕНИЕ ЗАДАЧИ

Уравнения Максвелла после исключения вектора  $\bar{H}$  принимают вид

$$\Delta \bar{E} + k^2 \varepsilon(\bar{r}) \mu(\bar{r}) \bar{E} + [\bar{\delta}_\mu, \text{rot } \bar{E}] + \text{grad}(\bar{E} \bar{\delta}_\varepsilon) = 0.$$

В системе координат  $(n, s, t)$  получаем систему уравнений

$$\frac{1}{h_s h_t} \left[ \frac{\partial}{\partial n} \left( h_s h_t \frac{\partial E_j}{\partial n} \right) + \frac{\partial}{\partial s} \left( \frac{h_t}{h_s} \frac{\partial E_j}{\partial s} \right) + \frac{\partial}{\partial t} \left( \frac{h_s}{h_t} \frac{\partial E_j}{\partial t} \right) \right] + k^2 \varepsilon(\bar{r}) \mu(\bar{r}) E_j + \delta E_j = 0, \quad (2)$$

где индекс  $j$  обозначает проекцию на одну из координат  $(n, s, t)$ , а член  $\delta E_j$  учитывает неоднородность среды. Так, для проекции  $\delta E_n$  имеем

$$\begin{aligned} \delta E_n = & \frac{1}{\mu h_t^2} \left[ \frac{\partial E_n}{\partial t} - \frac{\partial}{\partial n} (h_t E_t) \right] \frac{\partial \mu}{\partial t} + \frac{1}{\mu h_s^2} \left[ \frac{\partial E_n}{\partial s} - \frac{\partial}{\partial n} (h_s E_s) \right] \frac{\partial \mu}{\partial s} + \dots \\ & + \frac{1}{\varepsilon} \frac{\partial}{\partial n} \left[ E_n \frac{\partial \varepsilon}{\partial n} + \frac{1}{h_s} E_s \frac{\partial \varepsilon}{\partial s} + \frac{1}{h_t} E_t \frac{\partial \varepsilon}{\partial t} \right]. \end{aligned}$$

Система (2) разрешима с помощью метода малого параметра вследствие малости величин  $|\delta_\varepsilon|, |\delta_\mu|$  [3]. Поэтому далее будем рассматривать решение каждого из уравнений системы в отдельности,

считая слагаемые  $\delta E_j$  заданными. Поле каждой из компонент вектора  $E_j$  будем аналогично двумерному случаю [1] искать в виде

$$E_j = \exp\left(i \sum_{m=3}^M \alpha_m(s, t, v) k^{\frac{m}{3}}\right) \cdot f\left(\sum_{m=0}^M \beta_m(s, t, v) k^{\frac{m}{3}}\right), \quad (3)$$

где  $\alpha_m(s, t, v)$ ,  $\beta_m(s, t, v)$  – подлежащие определению коэффициенты;  $f(z)$  – функция Эйри-Фока, целая константа  $M$  зависит от требуемой точности, а  $v = nk^{2/3}$ . Для удовлетворения принципа предельного поглощения функция  $f(z)$  в случае выпуклой поверхности должна быть равна функции Эйри-Фока  $w_1(z)$ , а в случае вогнутой поверхности – функции Эйри-Фока  $v(z)$ . Подставляя выражение (3) в (2) и собирая члены при функции Эйри-Фока и ее производной, получаем уравнение

$$f\left(\sum_{m=0}^M \beta_m k^{\frac{m}{3}}\right) \cdot \sum_{m=6}^{M-1} a_m k^{\frac{m}{3}} + f'\left(\sum_{m=0}^M \beta_m k^{\frac{m}{3}}\right) \cdot \sum_{m=b}^{M-1} b_m k^{\frac{m}{3}} = 0, \quad (4)$$

где коэффициенты  $a_m$ ,  $b_m$  являются известными дифференциальными операторами над коэффициентами  $\alpha_m(s, t, v)$ ,  $\beta_m(s, t, v)$ . Поскольку функции  $f(z)$  и  $f'(z)$  линейно независимы, а уравнение (4) должно выполняться тождественно относительно  $k$ , все коэффициенты  $a_m$  и  $b_m$  должны быть равны нулю, что позволяет рекурсивно вычислять коэффициенты  $\alpha_m(s, t, v)$ ,  $\beta_m(s, t, v)$ . Так, из первых уравнений этой системы следует, что коэффициент  $\alpha_{-3}$  не зависит от координаты  $n$  и удовлетворяет уравнению эйконала

$$\left(\frac{\partial \alpha_{-3}}{\partial s}\right)^2 + \left(\frac{\partial \alpha_{-3}}{\partial t}\right)^2 = \chi_0(s, t), \quad (5)$$

где  $\chi_0(s, t)$  есть квадрат показателя преломления на поверхности – нулевой член разложения

$$\varepsilon(\vec{r})\mu(\vec{r}) = \chi_0(s, t) + \chi_1(s, t)n + \chi_2(s, t)n^2 + \dots$$

Таким образом, если окружающая поверхность среды однородна, собственные волны распространяются по геодезическим линиям на поверхности. В общем случае уравнение (5) решается методом характеристик аналогично уравнению эйконала геометрической оптики. Далее будем считать, что его характеристики (лучи) известны и заданы в параметрическом виде:  $s = s(\tau)$ ,  $t = t(\tau)$ , где  $\tau$  – натуральный параметр характеристики. Пусть волна распространяется в направлении увеличения  $\tau$ , тогда

$$\alpha_{-3} = \int \sqrt{\chi_0(\tau)} d\tau.$$

Таким образом, коэффициент  $\alpha_{-3}(s, t)$  представляет собой оптическую длину пути от источника до точки наблюдения по поверхности.

Аналогично двумерному случаю [1] можно доказать, что коэффициенты  $\alpha_m(s, t, \nu)$ ,  $\beta_m(s, t, \nu)$  в выражении (4) являются полиномами относительно переменной  $\nu$ :

$$\begin{aligned}\alpha_m(s, t, \nu) &= \alpha_{m0}(s, t) + \alpha_{m1}(s, t)\nu + \dots; \\ \beta_m(s, t, \nu) &= \beta_{m0}(s, t) + \beta_{m1}(s, t)\nu + \dots\end{aligned}$$

Степени этих полиномов при четном  $m \geq 0$  равны  $m/2$  и  $m/2 + 1$  для коэффициентов  $\alpha_m(s, t, \nu)$  и  $\beta_m(s, t, \nu)$  соответственно. При нечетном  $m > 0$  они равны  $(m+3)/2$  и  $(m-1)/2$  [1].

Правая часть уравнения (2) может быть приближенно представлена в виде

$$\delta E_j \approx e^{\sum_{m=3}^M \alpha_m k^{\frac{m}{3}}} \sum_{m=3}^M \sum_{n=0}^N \left[ \xi_{mn}(s, t) \nu \left( \sum_{m=0}^M \beta_m k^{\frac{m}{3}} \right) + \zeta_{mn}(s, t) \nu' \left( \sum_{m=0}^M \beta_m k^{\frac{m}{3}} \right) \right] \nu^n k^{\frac{m}{3}},$$

где коэффициенты  $\zeta_{mn}, \xi_{mn}$  определяются из дифференциальных выражений для величин  $\delta E_j$ .

Последующие члены асимптотического ряда (3) имеют такой вид:

$$\begin{aligned}\alpha_{-2} &= 0; \quad \alpha_{-1} = \alpha_{-10} = \frac{1}{2} \int \gamma \beta_{00} \beta_{01}^2 d\tau; \\ \beta_0 &= \beta_{00} + \beta_{01}\nu; \quad \beta_{01} = -\sqrt[3]{\frac{2}{\rho_s} \left( \frac{\partial \alpha_{-3}}{\partial s} \right)^2 + \frac{2}{\rho_t} \left( \frac{\partial \alpha_{-3}}{\partial t} \right)^2} + \chi_1; \quad \beta_1 = \beta_{10}; \\ \alpha_0 &= \alpha_{00} = \frac{1}{2} \int \gamma \left( i \frac{\partial^2 \alpha_{-3}}{\partial t^2} + i \frac{\partial^2 \alpha_{-3}}{\partial s^2} + 2i\alpha_{12} + \beta_{10}\beta_{01}^2 + \xi_{00} \right) d\tau; \\ \alpha_{12} &= -\frac{1}{2\beta_{01}} \left[ \frac{\partial \beta_{01}}{\partial s} \frac{\partial \alpha_{-3}}{\partial s} + \frac{\partial \beta_{01}}{\partial t} \frac{\partial \alpha_{-3}}{\partial t} - \frac{i\zeta_{01}}{2} \right]; \\ \alpha_{11} &= -\frac{1}{\beta_{01}} \left[ \frac{\partial \beta_{00}}{\partial s} \frac{\partial \alpha_{-3}}{\partial s} + \frac{\partial \beta_{00}}{\partial t} \frac{\partial \alpha_{-3}}{\partial t} - \frac{i\zeta_{00}}{2} \right], \\ \text{где } \gamma &= \left[ \left( \frac{\partial s}{\partial \tau} \right)^{-1} \frac{\partial \alpha_{-3}}{\partial s} + \left( \frac{\partial t}{\partial \tau} \right)^{-1} \frac{\partial \alpha_{-3}}{\partial t} \right]^{-1}.\end{aligned}$$

Коэффициенты  $\beta_{m0}(s, t, n)$  не могут быть найдены из уравнения (2), для их отыскания необходимо подставить выражение (3) в граничные условия (1). При этом, для проекций вектора  $E_j$  получается система

$$\left\{ \begin{aligned} \frac{i}{k\mu h_t} \left[ \frac{\partial E_n}{\partial t} - \frac{\partial}{\partial n} (h_t E_t) \right] &= W_{11} E_t - W_{12} E_s; \\ \frac{i}{k\mu h_s} \left[ \frac{\partial E_n}{\partial s} - \frac{\partial}{\partial n} (h_s E_s) \right] &= -W_{21} E_t + W_{22} E_s, \end{aligned} \right. \Big|_{\nu=0} \quad (6)$$

где  $W_{11}, W_{12}, W_{21}, W_{22}$  – компоненты тензора поверхностного импеданса.

При подстановке в систему (6) выражений (3), разлагая функцию Эйри-Фока и ее производную по степеням  $k^{-m/3}$  [1], получаем систему для определения коэффициентов  $\beta_{m0}(s, t, n)$ . Каждое из уравнений этой системы представляет собой сумму быстроосциллирующих экспонент умноженных на ряды по степеням  $k^{-m/3}$ . Поэтому для того чтобы компоненты  $E_j$  удовлетворяли системе (6) тождественно относительно  $k$ , необходимо, чтобы множители при одинаковых быстроосциллирующих экспонентах в правой и левой частях уравнений компенсировали друг друга. Каждый из членов  $E_j$  имеет три множителя в экспонентах при положительных степенях  $k$ . Коэффициенты  $\alpha_{-3}$  идентичны для всех членов, коэффициенты  $\alpha_{-2}$  тождественно равны нулю, а коэффициенты  $\alpha_{-1}$ , вообще говоря, различны. Предположим, что компоненты тензора  $W_{11}$  и  $W_{22}$  имеют один порядок малости либо обе являются величинами порядка  $o(k^{-1/3})$ . Тогда коэффициенты  $\alpha_{-1}$  компонент  $E_s$  и  $E_t$  равны, и система (6) сводится к рекуррентной системе для  $\beta_{m0}^s, \beta_{m0}^t$ , а также к уравнениям для  $\beta_{m0}^n$ . Так, для первых членов  $\beta_{m0}$  при  $W_{11} = O(1)$ ,  $W_{22} = O(1)$  имеем:

$$\begin{cases} W_{11} e^{i\alpha_s^t} f(\beta_{00}^t) = W_{12} e^{i\alpha_s^s} f(\beta_{00}^s); \\ W_{21} e^{i\alpha_t^t} f(\beta_{00}^t) = W_{22} e^{i\alpha_t^s} f(\beta_{00}^s). \end{cases}$$

$$\begin{cases} W_{11} e^{i\alpha_s^t} f'(\beta_{00}^t) \beta_{10}^t - W_{12} e^{i\alpha_s^s} f'(\beta_{00}^s) \beta_{10}^s = \frac{i}{\mu} f'(\beta_{00}^t) \beta_{01}^t e^{i\alpha_s^t}; \\ W_{21} e^{i\alpha_t^t} f'(\beta_{00}^t) \beta_{10}^t - W_{22} e^{i\alpha_t^s} f'(\beta_{00}^s) \beta_{10}^s = -\frac{i}{\mu} f'(\beta_{00}^s) \beta_{01}^s e^{i\alpha_t^s}. \end{cases}$$

$$\begin{cases} \frac{\partial \alpha_{-3}^n}{\partial s} f(\beta_{00}^n) = 0; & \frac{\partial \alpha_{-3}^n}{\partial s} f'(\beta_{00}^n) \beta_{10}^n = 0; \\ \frac{\partial \alpha_{-3}^n}{\partial t} f(\beta_{00}^n) = 0. & \frac{\partial \alpha_{-3}^n}{\partial t} f'(\beta_{00}^n) \beta_{10}^n = 0. \end{cases}$$

Из этих систем получаем

$$\beta_{00}^s = \beta_{00}^t = \beta_{00}^n = z_p; \quad \beta_{10}^s = \Delta_s / \Delta; \quad \beta_{10}^t = \Delta_t / \Delta; \quad \beta_{10}^n = 0,$$

где  $z_p$  -  $p$ -й нуль уравнения  $f(z_p) = 0$ , а также:

$$\begin{aligned} \Delta &= e^{i\alpha_s^t + i\alpha_s^s} (W_{12} W_{21} - W_{11} W_{22}); \\ \Delta_t &= -\frac{i}{\mu} (\beta_{01}^t e^{i\alpha_s^t + i\alpha_s^s} W_{22} + \beta_{01}^s e^{2i\alpha_s^s} W_{12}); \\ \Delta_s &= -\frac{i}{\mu} (\beta_{01}^s e^{i\alpha_s^t + i\alpha_s^s} W_{11} + \beta_{01}^t e^{2i\alpha_s^t} W_{21}). \end{aligned}$$

Аналогично могут быть получены коэффициенты  $\beta_{m0}^s, \beta_{m0}^t$  при других порядках малости величин  $W_{11}, W_{12}, W_{21}, W_{22}$ . В частности, если элементы тензора поверхностного импеданса имеют порядок  $o(k^{-1/3})$ , получаем

$$\begin{aligned}\beta_{00}^s &= \beta_{00}^t = z'_p; \quad \beta_{00}^n = z_p; \quad \beta_{10}^n = 0; \\ \beta_{10}^s &= \frac{-i}{\beta_{00}^s \beta_{01}^s} \left( \alpha_{11}^s - i\mu W_{22} + i\mu W_{21} e^{i\alpha_0^s - i\alpha_0^s} \right); \\ \beta_{10}^t &= \frac{-i}{\beta_{00}^t \beta_{01}^t} \left( \alpha_{11}^t + i\mu W_{11} - i\mu W_{12} e^{i\alpha_0^t - i\alpha_0^t} \right),\end{aligned}$$

где  $z'_p$  -  $p$ -й нуль уравнения  $f'(z'_p) = 0$ .

Таким образом, при подстановке выражения (3) в уравнение второго порядка (2) и в граничное условие (1) можно получить неизвестные коэффициенты в этом разложении с произвольной точностью. Однако вследствие того что в данном приближении не учитываются эффекты, связанные с кручением координатных кривых на поверхности, вычисление членов порядка  $O(k^{-2/3})$  и менее нецелесообразно. Для замкнутых траекторий распространения собственных мод могут быть вычислены собственные частоты из условия  $\vec{E}(\tau) = \vec{E}(\tau + L)$ , где  $L$  - длина замкнутой траектории.

#### ЧИСЛЕННЫЕ РЕЗУЛЬТАТЫ

Рассмотрим влияние неоднородностей, расположенных в непосредственной близости от поверхности, на поле собственных волн соскальзывания. Для этого рассмотрим распространение волн соскальзывания вдоль идеально проводящей сферы, если показатель преломления у ее поверхности имеет вид

$$\chi_0(\varphi, \theta) = \chi_{00} + \chi_{01} \exp\left(-\sigma_\varphi (\varphi - \varphi_0)^2 - \sigma_\theta (\theta - \theta_0)^2\right),$$

где величины  $\chi_{00}, \chi_{01}$  задают показатель преломления вдали от неоднородности и в ее центре соответственно;  $\sigma_\varphi, \sigma_\theta$  - декременты затухания вдоль координат  $\varphi$  и  $\theta$ ;  $\varphi_0, \theta_0$  - координаты центра неоднородности. Если параметр  $\chi_{01}$  равен нулю, волны соскальзывания распространяются вдоль геодезических - больших окружностей на сфере. При  $\chi_{01} > 0$  показатель преломления в неоднородности выше, чем в окружающем пространстве. При этом лучи втягиваются в неоднородность. Амплитуда волн соскальзывания при этом внутри неоднородности возрастает вследствие уменьшения поперечных сечений лучевых трубок. При  $\chi_{01} < 0$  лучи, напротив, выталкиваются из области неоднородности и амплитуда волн соскальзывания в ней уменьшается. На рис. 1,2 представлены лучи уравнения (5) для случаев  $\chi_{01} = 0, \chi_{01} = -0.6$  при  $\chi_{10} = 1, \sigma_\varphi = \sigma_\theta = 5, \varphi_0 = \pi/2, \theta_0 = \pi/4$ .

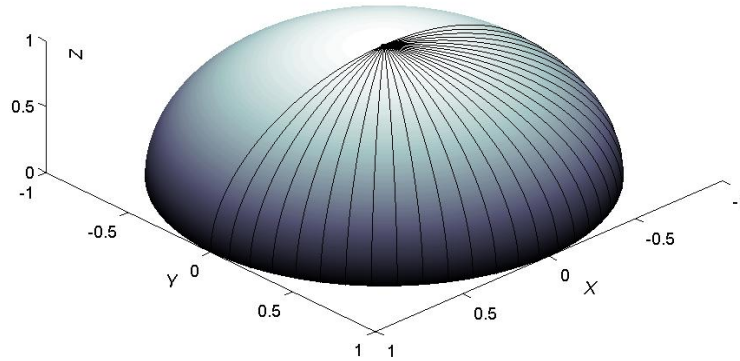


Рисунок 1 – Лучи волн соскальзывания при  $\chi_{01} = 0$

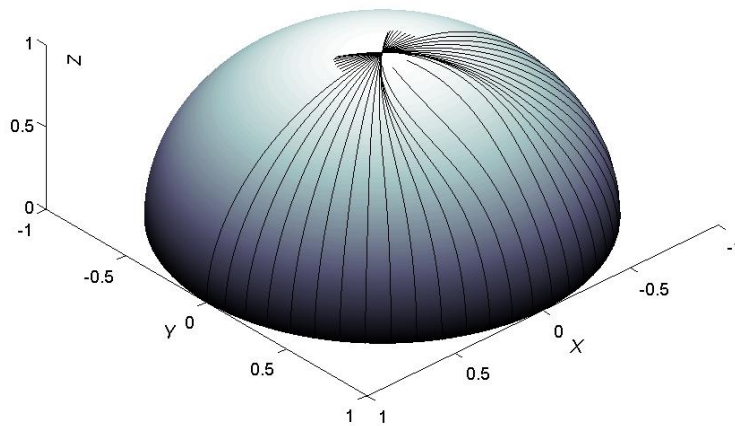


Рисунок 2 – Лучи волн соскальзывания при  $\chi_{01} < 0$

Рассмотрим далее влияние неоднородностей, расположенных в слое  $O(k^{-2/3})$ , на собственную частоту волн шепчущей галереи, распространяющихся в цилиндрическом резонаторе. Внутреннюю поверхность резонатора будем приближенно считать идеально проводящей. Пусть волна распространяется по окружности в плоскости, перпендикулярной оси резонатора, а величина  $\chi_1$ , характеризующая поведение показателя преломления в слое  $O(k^{-2/3})$  вблизи поверхности, имеет вид  $\chi_1 = \chi_{10} + \chi_{11} \exp(-\sigma(s - s_0)^2)$ . На рис. 3 представлены зависимости разности  $\lambda - \lambda_0$ , приведенной к радиусу резонатора  $R$ , от величины  $\chi_{11}$ , где  $\lambda, \lambda_0$  - собственные длины волн при наличии неоднородности и при ее отсутствии. Вычисления производились для одиннадцати значений  $q = 20, 21, \dots, 30$ , где  $q$  - число целых длин волн вдоль траектории движения.

Из рисунка видно, что изменение длины волны составляет десятые и сотые доли процента и уменьшается с ростом  $q$ , поскольку при этом уменьшается толщина слоя распространения волны. Изменения показателя преломления, находящиеся вне слоя  $O(k^{-2/3})$ , практически не

оказывают влияния на распространение волн шепчущей галереи. От них зависят асимптотически малые члены ряда (3), начиная с  $\beta_2, \alpha_2$ .

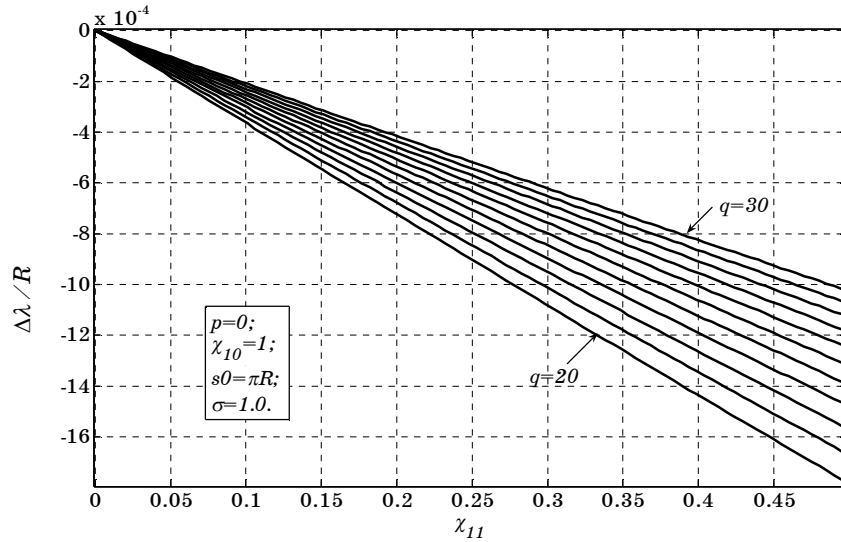


Рисунок 3 – Изменение собственной длины волны с ростом  $\chi_{11}$

На рис. 4 представлена зависимость приведенной к радиусу  $R$  собственной длины волны в зависимости от порядка собственной функции  $p$ . Вычисления производились при фиксированной величине  $\chi_{11} = 0.5$ , однако при разных размерах неоднородности  $\sigma = 0, 1, 2$ . Из рисунка видно, что с увеличением порядка собственной функции увеличивается и влияние на нее показателя преломления в слое  $O(k^{-2/3})$ .

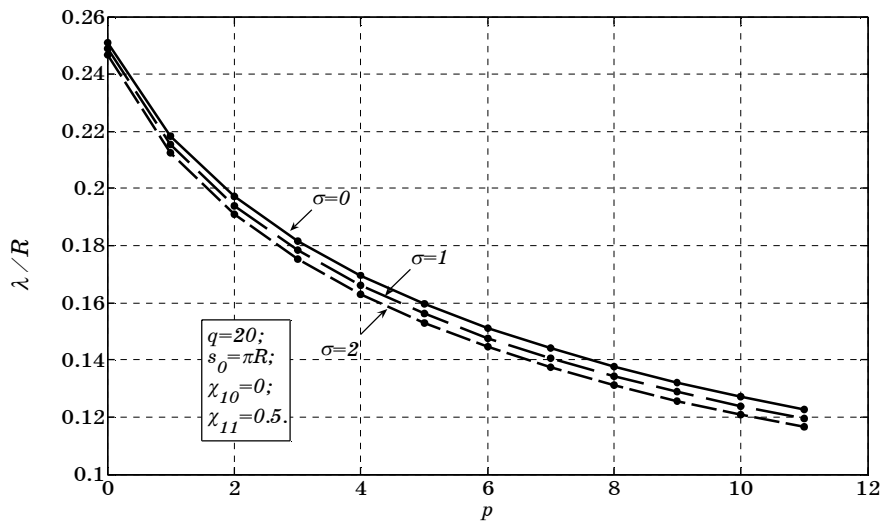


Рисунок 4 – Зависимость собственной длины волны от параметра  $p$

Таким образом, используя резонансные свойства волн шепчущей галереи, можно оценивать величину и размеры неоднородностей показателя преломления среды, а также удаление этих неоднородностей



от вогнутой границы раздела сред, вдоль которой распространяются волны шепчущей галереи.

Рассмотрим далее влияние недиагональных членов тензора поверхностного импеданса на поле волны шепчущей галереи. На рис. 5 представлены зависимости амплитуды компоненты  $E_t$  от расстояния вдоль луча, приведенного к главному радиусу кривизны, для пяти значений членов  $W_{12} = W_{21} = 1, 3, 5, 7, 9$ . При этом диагональные члены  $W_{11} = W_{22} = 10$ .

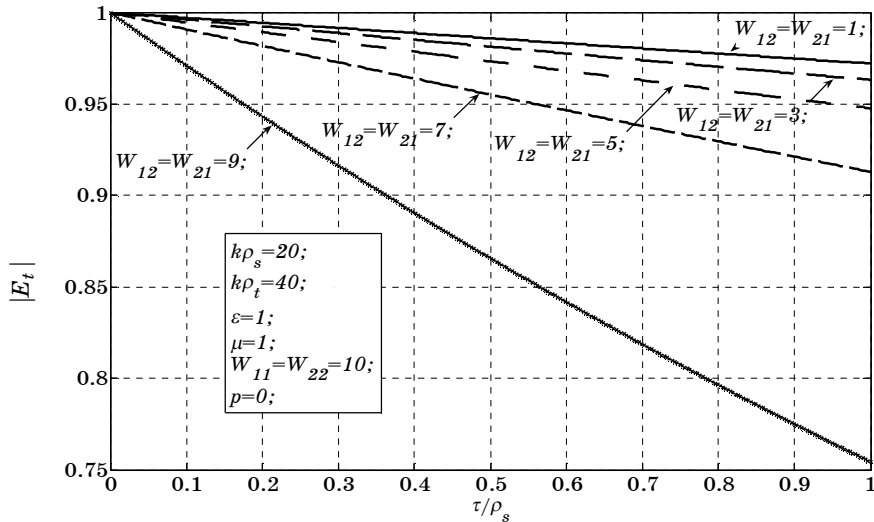


Рисунок 5 – Зависимость амплитуды волны от пройденного пути

Как видно из рисунка, затухание волны существенно зависит от недиагональных членов. Их наличие приводит к перераспределению энергии между компонентами  $E_t$  и  $E_s$ . Если разность  $W_{12}W_{21} - W_{11}W_{22}$  стремится к нулю при сохранении условия  $W_{11}W_{22} = O(1)$ , затухание резко возрастает. Этот случай требует дополнительного исследования, поскольку система уравнений для компонент  $\beta_{10}^{s,t}$  при этом плохо обоснована.

## ЗАКЛЮЧЕНИЕ

Предложенный подход к задаче отыскания собственных мод криволинейных поверхностей позволяет учитывать неоднородность среды, окружающей поверхность, а также анизотропию поверхностного импеданса. Показано, что в общем случае волны соскальзывания и шепчущей галереи распространяются не вдоль геодезических линий на поверхности, а вдоль характеристик уравнения (5) в зависимости от коэффициента преломления окружающей среды на поверхности. Также показано, что свойства волн шепчущей галереи могут быть использованы для определения параметров неоднородностей показателя преломления.

## SUMMARY

The problem of finding high frequency whispering gallery and creeping eigenmodes of a surface with anisotropic surface impedance is considered. The outer medium is supposed to be weakly inhomogeneous. The solution is obtained by reducing Maxwell equations to a second-order vector equation, and by subsequent applying of the method of reference problem.

## СПИСОК ЛИТЕРАТУРИ

1. Бабич В.М., Булдырев В.С. Асимптотические методы в задачах дифракции коротких волн. – М.: Наука, 1972. – 456 с.
2. I. Andronov, D. Bouche and F. Molinet. Asymptotic and hybrid methods in electromagnetics. – London: Institution of Electrical Engineers, 2005. – 249 P.
3. A.A. Zvyagintsev, A.I. Ivanov, D. V. Katkov. Whispering gallery eigenmodes of a curvilinear impedance surface – analysis by the method of reference problem // Proc. International Conf. on Mathematical Methods in Electromagnetic Theory. – Kharkiv. – 2006. – P. 236 - 238.

**Звягинцев А.А.**, доцент, кандидат физ.-мат. наук, ХНУ им. В.Н. Каразина, г. Харьков;

**Иванов А.И.**, младший научный сотрудник, ХНУ им. В.Н. Каразина, г. Харьков;

**Катков Д.В.**, младший научный сотрудник, ХНУ им. В.Н. Каразина, г. Харьков

*Поступила в редакцию 20 августа 2007 г.*